

3.3 The Negative-U Model

Hubbard 模型中的 on-site 关联项系数 $U > 0$ 似乎是必然的事情, 因为它来源于电子之间的库伦相互作用. 如果我们希望导出一个 $U < 0$ 的模型, 这必须有第三方的媒介参与相互作用. 本节就讨论 $U < 0$ 的 Hubbard 模型.

当我们谈论 $U < 0$ 的 Hubbard 模型时, 通常是以下两种情形:

1. 纯粹是形式上的 $U < 0$ 模型. 后面我们会看到, 存在一个正则变换可以将 $U > 0$ 和 $U < 0$ 的模型联系起来.
2. 将 $U < 0$ 模型视为一个有效哈密顿量, 类似于 BCS 模型哈密顿量, 它描述了电子-电子之间的**有效吸引相互作用**, 这个吸引相互作用的建立有一些中间步骤但我们将这些细节忽略.

$U < 0$ 的不同机制

- $U < 0$ 的 Hubbard 模型描述电子之间的局域吸引相互作用.
- 和 $U > 0$ 的情形一样, 这两个模型都是一种**有效模型**, 其中的重整化参数都只在低频和低温时适用.
- 当电子极化出一个集体的自由度时, 它们可以通过共享**极化(polarization)**, 具有一个负的配对结合能 $-U$. 具体地, 产生电子之间的吸引相互作用有很多极化机制, 比如:
 - lattice deformations (phonons),
 - collective charge oscillations (plasmons),
 - or spin fluctuations (paramagnons).
- 这种借助第三方媒介产生极化, 进而产生的吸引相互作用是需要**一定时间的**. 为了写出 Hubbard 模型, 有一个假设是, 极化机制的时间尺度 (比如声子的 Debye 频率倒数)远小于 hopping 的时间; 相比 hopping 来说, 极化可以说是瞬间完成的.
 - 这个假设刚好是 Migdal-Eliashberg's approximation for superconductivity 的反面, 详见 Schrieffer 的书.

$U < 0$ Hubbard 模型

我们所讨论的 $U < 0$ Hubbard 模型一般形式如下:

$$\begin{aligned}\mathcal{H}^{-U} = & - \sum_{ij s} t_{ij} c_{is}^\dagger c_{js} - \frac{U}{2} \sum_i (n_i - 1)^2 \\ & + \frac{1}{2} \sum_{ij} V_{ij} (n_i - 1) (n_j - 1) - \mu \sum_i n_i\end{aligned}$$

- negative- U term: 倾向于同一格点上有成对的自旋向上和向下的电子;
- hopping term: 与 U term 竞争, 会将电子给离域化, 解出电子的配对.
- V_{ij} : 表示不同格点上电子的库伦排斥力. 如果 n_i, n_j 有一个是 1, 则这两个格点之间没有库伦排斥力. $(n_i, n_j) = (0, 0), (2, 2), (0, 2), (2, 0)$ 这些情况是有库伦排斥力的.
 - 这一项在选择基态时起到重要的作用, 尤其是考虑接近半填充时.

转换为 $U > 0$ Hubbard 模型

通过一个**针对自旋向下电子的粒子-空穴变换 (particle-hole transformation only on the down-spin electrons)**, 我们可以将一个 $U < 0$ 的 Hubbard 模型转换为一个 $U > 0$ Hubbard 模型:

$$\begin{cases} c_{i\uparrow} \rightarrow \tilde{c}_{i\uparrow}, c_{i\uparrow}^\dagger \rightarrow \tilde{c}_{i\uparrow}^\dagger \\ c_{i\downarrow} \rightarrow \tilde{c}_{i\downarrow}^\dagger, c_{i\downarrow}^\dagger \rightarrow \tilde{c}_{i\downarrow} \end{cases}$$

- 变换之后的算符 \tilde{c}_{is}^\dagger 所激发的电子被称为**赝电子(pseudo-electrons)**, $\tilde{c}_{is}, \tilde{c}_{is}^\dagger$ 被称为**赝自旋算符(pseudo-spin operators)**.
- 这是一个正则的 **Bogoliubov 变换**, 变换之后的赝电子算符 \tilde{c} 依旧满足 Fermi 反对易关系.
 - 表象变换(式"2.8"¹)是把新表象下单粒子本征值 λ' 对应的湮灭算符 $a_{\lambda'}$ 用原来表象下所有湮灭算符 a_λ 线性组合表出, 不会用产生算符组合出湮灭算符.
 - "Bogoliubov 变换"²往往固定一个量子数(如这里的 i), 新的湮灭算符是原来的产生湮灭算符的线性组合.

$$\begin{pmatrix} \tilde{c}_{i\uparrow} \\ \tilde{c}_{i\uparrow}^\dagger \end{pmatrix} = \begin{pmatrix} 1 & 0 \\ 0 & 1 \end{pmatrix} \begin{pmatrix} c_{i\uparrow} \\ c_{i\uparrow}^\dagger \end{pmatrix}, \begin{pmatrix} \tilde{c}_{i\downarrow} \\ \tilde{c}_{i\downarrow}^\dagger \end{pmatrix} = \begin{pmatrix} 0 & 1 \\ 1 & 0 \end{pmatrix} \begin{pmatrix} c_{i\downarrow} \\ c_{i\downarrow}^\dagger \end{pmatrix}$$

数算符的定义

$$\tilde{n}_i \equiv \tilde{c}_{i\uparrow}^\dagger \tilde{c}_{i\uparrow} + \tilde{c}_{i\downarrow}^\dagger \tilde{c}_{i\downarrow}$$

数算符 \tilde{n}_i 实际上并不是 n_i 直接映射而来的, 直接映射的结果如下:

$$n_i = c_{i\uparrow}^\dagger c_{i\uparrow} + c_{i\downarrow}^\dagger c_{i\downarrow} \rightarrow \tilde{c}_{i\uparrow}^\dagger \tilde{c}_{i\uparrow} + \tilde{c}_{i\downarrow} \tilde{c}_{i\downarrow}^\dagger \neq \tilde{n}_i$$

利用 $\tilde{n}_{is}^2 = \tilde{n}_{is}$ (因为只取 0 和 1), 通过上述变换可以得到 $U > 0$ 的 Hubbard 模型:

$$\mathcal{H}^{-U} \rightarrow \tilde{\mathcal{H}}^{+U} = - \sum_{ij} t_{ij} \left(\tilde{c}_{i\uparrow}^\dagger \tilde{c}_{j\uparrow} - \tilde{c}_{i\downarrow}^\dagger \tilde{c}_{j\downarrow} \right) + \frac{U}{2} \sum_i (\tilde{n}_i - 1)^2 \\ + \frac{1}{2} \sum_{ij} J_{ij}^a \tilde{S}_i^z \tilde{S}_j^z - h \sum_i \tilde{S}_i^z - \mathcal{N} \Delta E$$

- Ising anisotropy: $J_{ij}^\alpha = 4V_{ij}$
- 磁场: $h = 2\mu$
- 能量 shift: $\Delta E = \mu + \frac{U}{2}$

二分晶格(bipartite lattice)

二分晶格(bipartite lattice) 可以被分离为两个互斥的子晶格 A 和 B , 而二分晶格中的最近邻 hopping 参数 t_{ij} 只会包含两个子晶格之间的 hopping, 包括 $i \in A, j \in B$ 以及 $i \in B, j \in A$.

- 二分晶格的例子: 正方晶格(square lattices), 立方晶格(cubic lattices)
- 非二分晶格(nonbipartite lattice)的例子: 三角晶格和面心立方晶格.

$U > 0$ Hubbard 模型"equ:3.3PositiveU"³中的相互作用项是正的, hopping 参数的正负是依赖自旋符号的. 这在非二分晶格的物理讨论上是非常重要的特征: 符号并不能被简单的规范变换消除.

3.3.1 赝自旋模型和超导电性

在这一小节我们将看到, 变换"equ:3.3particle-hole-trans"⁴将负 U 模型的电荷算符映射为了正 U 模型的赝自旋算符, 我们会建立所有的映射字典. 这也是为什么变换后的模型也称为**赝自旋模型**.

z 方向赝自旋算符

这个变换实际上将原先的**局域电荷涨落算符**映射为了 z 方向的**赝自旋算符**:

$$\frac{1}{2} (n_i - 1) \Leftrightarrow \tilde{S}_i^z$$

$$\begin{aligned} \frac{1}{2} (n_i - 1) &\rightarrow \frac{1}{2} \left(\tilde{c}_{i\uparrow}^\dagger \tilde{c}_{i\uparrow} + \tilde{c}_{i\downarrow}^\dagger \tilde{c}_{i\downarrow} - 1 \right) \\ &= \frac{1}{2} \left(\tilde{c}_{i\uparrow}^\dagger \tilde{c}_{i\uparrow} - \tilde{c}_{i\downarrow}^\dagger \tilde{c}_{i\downarrow} \right) \\ &= \tilde{S}_i^z = \frac{1}{2} \begin{pmatrix} \tilde{c}_{i\uparrow}^\dagger & \tilde{c}_{i\downarrow}^\dagger \end{pmatrix} \begin{pmatrix} 1 & \\ & -1 \end{pmatrix} \begin{pmatrix} \tilde{c}_{i\uparrow} \\ \tilde{c}_{i\downarrow} \end{pmatrix} \end{aligned}$$

- 因此, 负 U 模型中的半填充情况 $n_i = 1$ 等价于正 U 模型的 z 方向自旋为零; 负 U 模型对半填充的偏离就相当于正 U 模型中存在 z 方向的均匀磁化.
- 负 U 模型中的电荷密度波对应正 U 模型中的 z 方向自旋密度波.

| x, y 方向赝自旋算符和赝升降算符

负 U 模型中的**配对算符 (pairing operators)**被映射为了 x, y 分量的赝自旋算符:

$$\begin{aligned}\frac{1}{2} \left(c_{i\uparrow}^\dagger c_{i\downarrow}^\dagger + c_{i\downarrow} c_{i\uparrow} \right) &\Leftrightarrow \tilde{S}_i^x \\ \frac{1}{2i} \left(c_{i\uparrow}^\dagger c_{i\downarrow}^\dagger - c_{i\downarrow} c_{i\uparrow} \right) &\Leftrightarrow \tilde{S}_i^y\end{aligned}$$

进而得到赝升降算符 $\tilde{S}_i^\pm = \tilde{S}_i^x \pm i\tilde{S}_i^y$ 的映射关系:

$$\begin{aligned}c_{i\uparrow}^\dagger c_{i\downarrow}^\dagger &\Leftrightarrow \tilde{S}_i^+ \\ c_{i\downarrow} c_{i\uparrow} &\Leftrightarrow \tilde{S}_i^-\end{aligned}$$

- i 格点上同时产生一对自旋反平行的电子, 对应着此处赝自旋升算符.
- i 格点上同时湮灭一对自旋反平行的电子, 对应着此处赝自旋降算符.

这种成对成对产生湮灭的图像和 BCS 超导理论是一致的. 实际上赝自旋在 xy 平面上的序就代表了负 U 模型中的超导电性:

$$\Psi(\mathbf{x}_i) = \Delta(\mathbf{x}_i) e^{i\phi(\mathbf{x}_i)} \Leftrightarrow \langle \tilde{S}_i^+ \rangle$$

- 有序磁矩的幅值就是 BCS 的序参量 Δ , 有序磁矩在 xy 平面上的辐角就是超导相位 ϕ . 这个 BCS 理论的结论可以参考 Schrieffer 的书.
- Ψ 与一个外加的电磁规范场(电荷为 $2e$)相耦合.
- 对于一个空间慢变的 $\Psi(\mathbf{x})$ 而言, 其自由能展开正好就是 Ginzburg-Landau 自由能泛函.
- Ginzburg-Landau 理论给出了超导电性相关的许多宏观现象的解释, 如磁通量子化和无阻电流.

| 负 U 模型对应的正 U 模型一定是半填充的

定理: 不管负 U 模型 \mathcal{H}^{-U} 的电子填充情况如何($\langle n_i \rangle$ 任意取值), 正 U 模型 $\tilde{\mathcal{H}}^{+U}$ 一定是刚好半填充的($\langle \tilde{n}_i \rangle = 1$).

证明需要注意到正 U 模型所具备的一个对称性, 在正则变换

$$\tilde{c}_{is} \rightarrow \tilde{c}_{i-s}^\dagger, \quad s = \uparrow, \downarrow$$

$$\begin{pmatrix} \tilde{c}_{i\uparrow} \\ \tilde{c}_{i\uparrow}^\dagger \\ \tilde{c}_{i\downarrow} \\ \tilde{c}_{i\downarrow}^\dagger \end{pmatrix} = \begin{pmatrix} 0 & 0 & 0 & 1 \\ 0 & 0 & 1 & 0 \\ 0 & 1 & 0 & 0 \\ 1 & 0 & 0 & 0 \end{pmatrix} \begin{pmatrix} \tilde{c}_{i\uparrow} \\ \tilde{c}_{i\uparrow}^\dagger \\ \tilde{c}_{i\downarrow} \\ \tilde{c}_{i\downarrow}^\dagger \end{pmatrix}$$

下, 哈密顿量 $\tilde{\mathcal{H}}^{+U}$ "equ:3.3PositiveU"³是保持不变的:

$$\mathcal{H}^{+U} [\tilde{c}'] = \mathcal{H}^{+U} [\tilde{c}]$$

证明:

$$\begin{aligned} \mathcal{H}^{-U} \rightarrow \tilde{\mathcal{H}}^{+U} &= - \sum_{ij} t_{ij} \left(\tilde{c}_{i\uparrow}^\dagger \tilde{c}_{j\uparrow} - \tilde{c}_{i\downarrow}^\dagger \tilde{c}_{j\downarrow} \right) + \frac{U}{2} \sum_i (\tilde{n}_i - 1)^2 \\ &\quad + \frac{1}{2} \sum_{ij} J_{ij}^a \tilde{S}_i^z \tilde{S}_j^z - h \sum_i \tilde{S}_i^z - \mathcal{N} \Delta E \end{aligned}$$

第一项:

$$\begin{aligned} \sum_{ij} t_{ij} \left(\tilde{c}_{i\uparrow}^\dagger \tilde{c}_{j\uparrow} - \tilde{c}_{i\downarrow}^\dagger \tilde{c}_{j\downarrow} \right) &\rightarrow \sum_{ij} t_{ij} \left(\tilde{c}_{i\downarrow} \tilde{c}_{j\downarrow}^\dagger - \tilde{c}_{i\uparrow} \tilde{c}_{j\uparrow}^\dagger \right) \\ &= \sum_{ij} t_{ij} \left(1 - \tilde{c}_{j\downarrow}^\dagger \tilde{c}_{i\downarrow} - 1 + \tilde{c}_{j\uparrow}^\dagger \tilde{c}_{i\uparrow} \right) \\ &= \sum_{ij} t_{ij} \left(\tilde{c}_{j\uparrow}^\dagger \tilde{c}_{i\uparrow} - \tilde{c}_{j\downarrow}^\dagger \tilde{c}_{i\downarrow} \right) \\ &= \sum_{ij} t_{ij} \left(\tilde{c}_{i\uparrow}^\dagger \tilde{c}_{j\uparrow} - \tilde{c}_{i\downarrow}^\dagger \tilde{c}_{j\downarrow} \right) \end{aligned}$$

其中最后一个等号只在 $t_{ij} = t_{ji}$ 时成立.

第二项:

$$\tilde{n}_i = \tilde{c}_{i\uparrow}^\dagger \tilde{c}_{i\uparrow} + \tilde{c}_{i\downarrow}^\dagger \tilde{c}_{i\downarrow} \rightarrow \tilde{c}_{i\downarrow} \tilde{c}_{i\downarrow}^\dagger + \tilde{c}_{i\uparrow} \tilde{c}_{i\uparrow}^\dagger = 2 - \left(\tilde{c}_{i\uparrow}^\dagger \tilde{c}_{i\uparrow} + \tilde{c}_{i\downarrow}^\dagger \tilde{c}_{i\downarrow} \right)$$

$$\tilde{n}_i \rightarrow \tilde{n}_i' = 2 - \tilde{n}_i$$

第三项和第四项: 利用了 z 方向自旋算符在上述变换下不变的特性

$$\begin{aligned} \tilde{S}_i^z &= \frac{1}{2} \left(\tilde{c}_{i\uparrow}^\dagger \tilde{c}_{i\uparrow} - \tilde{c}_{i\downarrow}^\dagger \tilde{c}_{i\downarrow} \right) \rightarrow \frac{1}{2} \left(\tilde{c}_{i\downarrow} \tilde{c}_{i\downarrow}^\dagger - \tilde{c}_{i\uparrow} \tilde{c}_{i\uparrow}^\dagger \right) \\ &= \frac{1}{2} \left(1 - \tilde{c}_{i\downarrow}^\dagger \tilde{c}_{i\downarrow} - 1 + \tilde{c}_{i\uparrow}^\dagger \tilde{c}_{i\uparrow} \right) \\ &= \frac{1}{2} \left(\tilde{c}_{i\uparrow}^\dagger \tilde{c}_{i\uparrow} - \tilde{c}_{i\downarrow}^\dagger \tilde{c}_{i\downarrow} \right) = \tilde{S}_i^z \end{aligned}$$

电子占据数的期望值在变换前后应当不变(正则变换不改变可观测量期望值):

$$\langle \tilde{n}_i \rangle = \frac{1}{Z} \text{Tr}_{\tilde{c}} \left(e^{-\beta \mathcal{H}^{+U}[\tilde{c}]} \tilde{n}_i \right) = \frac{1}{Z} \text{Tr}_{\tilde{c}'} \left[e^{-\beta \mathcal{H}^{+U}[\tilde{c}']} \tilde{n}_i' \right] = \frac{1}{Z} \text{Tr}_{\tilde{c}} \left[e^{-\beta \mathcal{H}^{+U}[\tilde{c}]} (2 - \tilde{n}_i) \right]$$

从而两边对 i 求和, 除以总格点数 \mathcal{N} 就有平均占据数:

$$\mathcal{N}^{-1} \left\langle \sum_i \tilde{n}_i \right\rangle = \mathcal{N}^{-1} \left\langle \sum_i (2 - \tilde{n}_i) \right\rangle = 1$$

得证.

这个定理的重要性在于, 我们曾在 3.2 节证明, 正 U 模型在 U 很大、"半填充的时候"⁵可以完全约化为一个自旋问题, 即量子海森堡模型.

各向异性海森堡模型

按照 "t-J 模型的导出方法"⁶, 我们根据上面的定理, 只保留最后的海森堡哈密顿量, 最终得到有效的赝自旋哈密顿量:

$$\begin{aligned} \tilde{\mathcal{H}}^{+U} &\rightarrow \tilde{\mathcal{H}}^{-x-xz} + \mathcal{O}(t^2/U), \\ \tilde{\mathcal{H}}^{-x-xz} &= \frac{1}{2} \sum_{ij} \left[(J_{ij} + J_{ij}^a) \tilde{S}_i^z \tilde{S}_j^z - J_{ij} (\tilde{S}_i^x \tilde{S}_j^x + \tilde{S}_i^y \tilde{S}_j^y) \right] - h \sum_i \tilde{S}_i^z \end{aligned}$$

- 超交换耦合: $J_{ij} = 4t_{ij}^2/U$
- $\tilde{\mathcal{H}}^{-x-xz}$ 被称为 **各向异性海森堡模型 (anisotropic Heisenberg model)**.
 - 自旋的 x, y 分量之间是铁磁耦合
 - 自旋的 z 分量之间是反铁磁耦合.

半经典近似

这个哈密顿量是量子磁性的一种模型, 可以用本书中的许多方法进行处理, 我们这里先给出半经典近似的讨论方法:

- Chapter 11: **半经典近似 (semiclassical approximation)** 可以用在处于 **对称破缺相(broken symmetry phases)** 的二维三维体系中.
 - 经典基态: 通过取经典哈密顿量 $\tilde{\mathcal{H}}^{-x-xz}[\tilde{\mathbf{S}}]$ 的最小值得到, 其中 $\tilde{\mathbf{S}}$ 代表幅值为 S 的矢量.

非二分晶格: 阻挫效应和 $x-y$ 赝自旋序

对于非二分晶格的最近邻模型, z 方向自旋的反铁磁耦合是阻挫的, 但 $x-y$ 方向的铁磁耦合是允许的.

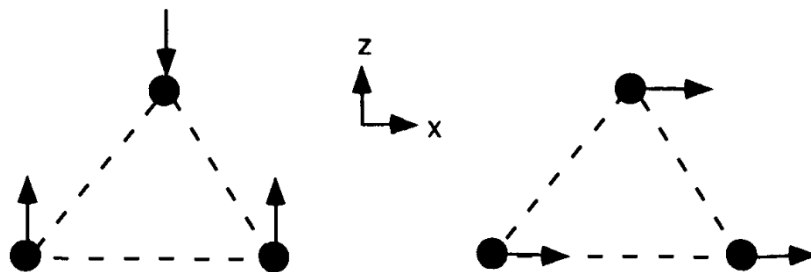


FIGURE 3.2. Frustrated z -spin couplings (left triangle) and satisfied x - y couplings (right triangle) of the pseudo-spin Hamiltonian $\tilde{\mathcal{H}}^{-x-xz}$.

- 因此, 经典近似是具有 **赝自旋序**, 这对于这低温下的超导电性. 对于低维体系, 其量子涨落和热涨落较大, 磁序会被扰乱.

二分晶格: Ising-Heisenberg 形式

对于二分晶格, 没有上面的自旋阻挫问题. 我们将其中一个子晶格 B 上所有自旋绕着 z 轴转一个 π 角, 那么 x, y 自旋的耦合也将呈现反铁磁效应, 这个旋转将 $\tilde{\mathcal{H}}^{-x-xz}$ 变为了 **Ising-Heisenberg 形式**:

$$\tilde{\mathcal{H}}^{-x-xz} \rightarrow \tilde{\mathcal{H}}^{xxz} = \frac{1}{2} \sum_{ij} \left(J_{ij} \tilde{\mathbf{S}}_i \cdot \tilde{\mathbf{S}}_j + J_{ij}^a \tilde{S}_i^z \tilde{S}_j^z \right) - h \sum_i \tilde{S}_i^z$$

- $\tilde{\mathcal{H}}^{xxz}[\tilde{\mathbf{S}}]$ 的经典基态: 两个子晶格上的赝自旋指向相反.

下面我们讨论此时经典基态的简并度, 可调参数包括 Ising anisotropy J^a 和外磁场 h .

- 对于 $J^a = 0, h = 0$ 的情形, 这就是一个基本的反铁磁海森堡模型, 其基态是 $\mathcal{O}(3)$ 简并的, 所有赝自旋可以整体转动任意角度.
- 对于 $J^a = 0, h > 0$ 的情形, 体系简并度缩小为 $\mathcal{O}(2)$ 简并, 由于一个 z 方向外磁场的加入, 自旋倾向于和磁场平行, 固定一个 z 分量, $x - y$ 方向依然是可以随便进行整体旋转的. 此时的序称为 **赝自旋序**($x - y$ ordering).
- 对于 Ising anisotropy $J^a > 0$ 的情形, 这一项使得体系倾向于在 z 方向反平行排列.
 - 此时磁场 h 和 Ising anisotropy 之间会有竞争, 决定了序磁矩的方向.
 - Ising ordering** 和 **赝自旋序** 之间的相变可以是关于磁场 h 一阶和二阶的. 这个相变在理论和实验上都有比较深入的研究, 也被应用到了铋酸盐(bismuthate)超导体的超导电性理论和 He-4 超流理论中.
 - 在经典的平均场近似下, 相变的阶数依赖于次近邻相互作用的符号.
 - 一级相变(first-order transition): 又称为 spin-flop, 在场-温度(h - T)相图中体现为一个 **二临界点(bicritical point)**.
 - 二级相变(second-order transition): 存在一个中间混合相(intermediate mixed phase), 其序参量同时具有 z 分量和 $x - y$ 分量, 电荷密度波和超导电性共存在这个相中.

- 对于 He, 这个混合相被称为**超固体(supersolid)**, 在本书成书的 1994 年还没有在实验上发现.

弱耦合时的处理方法

我们回到各向异性海森堡模型 $\tilde{\mathcal{H}}^{-x-xz}$ 的一般讨论来.

- $\tilde{\mathcal{H}}^{-x-xz}$ 的导出所需要的一个重要假设就是 3.2 节的标题: 大 U 极限 $|U| \gg t$. 这个假设说明, $\tilde{\mathcal{H}}^{-x-xz}$ 描述的体系的特点是, 电子倾向于成对束缚在晶格常数的尺度上.
- 对于不满足这个极限的情形, $|U| < t$, 我们如何处理? 可以采用关于相互作用强度 U 的微扰论, 或者用 4.1 节中会介绍的**变分磁性态(variational magnetic states)**来描述系统.

不管是弱耦合还是强耦合情形, 当电荷激发存在带隙时, 它们在定性上是类似的 (强弱对偶?).

- 在弱耦合时, 这样一个带隙会在**"费米面嵌套(Fermi surfac nesting)"**⁷ 时出现, 即 Fermi 面的大部分区域都是互相平行的.
- 此时强耦合条件下导出的赝自旋模型 $\tilde{\mathcal{H}}^{-x-xz}$ 可以视为弱耦合的一个有效模型, 其粗粒化程度超过一个库伯对的大小, 也就是此时"晶格常数"需要被超导的关联长度所替代.

- 1.
- 2.
- 3.
- 4.

5. 半填充情形

我们先考虑平均 1 格点 1 电子的半填充模型, 此时的基态是每个格点上都有一个电子. 由于不存在低能的 hopping 过程, \mathcal{T} 和 \mathcal{J}' 都会被 P_s 消灭掉.

这就是一个 Mott 绝缘体相, 体系并不能低能地从基态激发到激发态.

只有磁性相互作用项 \mathcal{H}^{QHM} 在投影 P_s 下存留了下来, 这称为**量子海森堡模型(quantum Heisenberg model)**. 因此, 我们认为在 $U/t \gg 1$ 时、体系接近半填充时, Hubbard 模型中的铁磁相互作用是非常重要的, 这也是这本书后面会大加讨论的模型.

$$\mathcal{H}^{QHM} = \frac{1}{2} \sum_{ij} J_{ij} \left(\mathbf{S}_i \cdot \mathbf{S}_j - \frac{n_i n_j}{4} \right)$$

6. t-J 模型的导出

当 $U/t \gg 1$ 时, 零阶哈密顿量是关联项:

$$\mathcal{U} = U \sum_i n_{i\uparrow} n_{i\downarrow}$$

\mathcal{U} 的本征态是万尼尔表象中的 Fock 态, 在节中我们曾用两格点模型讨论过基态: 自旋极化态和单占据态; 以及激发态: 双激发态. 这里也是差不多的:

- **基态子空间 (单占据态子空间):** 每个格点上少于等于一个电子. 如果是半满体系, 刚好就是一格点一电子, 简并度只在自旋的分布上; 对于不足半满体系, 简并度还有一个分配的组合因子在.

$$S = [|n_{1\uparrow}, n_{1\downarrow}, n_{2\uparrow} \dots\rangle \quad : \quad \forall i, n_{i\uparrow} + n_{i\downarrow} \leq 1]$$

- **激发态子空间 (双占据态子空间):**

$$D = [|n_{1\uparrow}, n_{1\downarrow}, n_{2\uparrow} \dots\rangle \quad : \quad \exists i, n_{i\uparrow} + n_{i\downarrow} = 2]$$

Hopping 项则视为一个微扰项:

$$\mathcal{T} = - \sum_{ijs} t_{ij} c_{is}^\dagger c_{js}$$

- \mathcal{T} 将基态子空间 S 和激发态子空间 D 耦合了起来, 可以通过一个电子的 hopping, 实现基态和激发态之间的双向变化.
- \mathcal{U} 是对角的 ($\langle d | \mathcal{U} | s \rangle = 0$), \mathcal{T} 解除了两个子空间中巨大无比的简并度.

投影矩阵

进入到多格点模型, 采用投影矩阵法是比较方便的. 上面我们已经通过零阶哈密顿量 \mathcal{U} 将 Hilbert 空间分为了基态子空间和激发态子空间, 现在我们引入对应的投影矩阵 P_s, P_d , 则 \mathcal{H} 可以写为分块的形式:

$$\mathcal{H} = \begin{pmatrix} P_s(\mathcal{T} + \mathcal{U})P_s & P_s\mathcal{T}P_d \\ P_d\mathcal{T}P_s & P_d(\mathcal{T} + \mathcal{U})P_d \end{pmatrix} = \begin{pmatrix} P_s\mathcal{T}P_s & P_s\mathcal{T}P_d \\ P_d\mathcal{T}P_s & P_d(\mathcal{T} + \mathcal{U})P_d \end{pmatrix}$$

其中利用了 \mathcal{U} 对角的结论.

预解算子 (resolvent operator)

定义预解算子 $\mathcal{G}(E)$:

$$\mathcal{G}(E) = (E - \mathcal{H})^{-1}$$

预解算子实际上是格林函数

其中 E 是一个数, 或者说 E 乘上一个单位算符. 将预解算子投影到基态子空间 S :

$$P_s\mathcal{G}(E)P_s = P_s[E - \mathcal{H}]^{-1}P_s = [E - \mathcal{H}^{eff}(E)]^{-1}$$

$$\mathcal{H}^{eff} = P_s \mathcal{T} P_s + P_s \mathcal{T} \{P_d [E - (\mathcal{U} + \mathcal{T})] P_d\}^{-1} \mathcal{T} P_s$$

$$E - H = \begin{pmatrix} E - P_s(\mathcal{T} + \mathcal{U})P_s & -P_s \mathcal{T} P_d \\ -P_d \mathcal{T} P_s & E - P_d(\mathcal{T} + \mathcal{U})P_d \end{pmatrix}^{-1}$$

$$\begin{aligned} E - \mathcal{H}^{eff}(E) &= E - P_s(\mathcal{T} + \mathcal{U})P_s - P_s \mathcal{T} P_d [E - P_d(\mathcal{T} + \mathcal{U})P_d] P_d \mathcal{T} P_s \\ &= E - P_s \mathcal{T} P_s - P_s \mathcal{T} P_d [E - P_d(\mathcal{T} + \mathcal{U})P_d]^{-1} P_d \mathcal{T} P_s \\ &= E - P_s \mathcal{T} P_s - P_s \mathcal{T} \{P_d [E - (\mathcal{T} + \mathcal{U})] P_d\}^{-1} \mathcal{T} P_s \end{aligned}$$

第一个等号利用了一个矩阵恒等式:

$$\left[\begin{pmatrix} A & B \\ C & D \end{pmatrix}^{-1} \right]_{ss} = (A - BD^{-1}C)^{-1}$$

$ABCD$ 代表一个矩阵的不同分块, ss 代表左上分块, 也就是 A 所处的位置. 如果这些分块都是 1×1 的, 这个恒等式就是熟悉的求逆公式:

$$\begin{aligned} \begin{pmatrix} a & b \\ c & d \end{pmatrix}^{-1} &= \frac{1}{ad - cb} \begin{pmatrix} d & b \\ c & a \end{pmatrix} \\ \frac{d}{ad - cb} &= \frac{1}{a - bc/d} \end{aligned}$$

具体的证明还未做. 见 [PDF blockmatrixinverse.pdf](https://www.pdfblockmatrixinverse.pdf).

预解算子的作用在于求解 \mathcal{H} 的一些本征值. 将预解算子在投影到基态子空间前后的表达式做对比,

$$\mathcal{G}(E) = (E - \mathcal{H})^{-1} \Rightarrow P_s \mathcal{G}(E) P_s = (E - \mathcal{H}^{eff})^{-1}$$

我们看到新定义的有效哈密顿量 \mathcal{H}^{eff} 在基态子空间中占据着总空间中 \mathcal{H} 的地位. $P_s \mathcal{G}(E) P_s$ 对应的特征多项式

$$\det |E_n - \mathcal{H}^{eff}(E_n)| = 0$$

将给出一些本征值 E_n , 这些本征值对应那些在基态子空间中具有非零权重的态. E_n 并不是 \mathcal{H}^{eff} 的本征值, 因为有效哈密顿量 \mathcal{H}^{eff} 本身就参数性地依赖于本征值 E .

忽略格点的数目很多带来的问题: t-J 模型

如果我们暂时忽略格点的数目很多带来的问题, 是有办法将有效哈密顿量中的 $P_d(E - \mathcal{H})^{-1} P_d$ 展开的, 展开到 E/U 的一阶, t/U 的二阶, 最终结果是:

$$\mathcal{H}^{eff} \rightarrow \mathcal{H}^{t-J} [1 + \mathcal{O}(E/U) + \mathcal{O}(t/U)]$$

$$\mathcal{H}^{t-J} = P_s \left[\mathcal{T} - \frac{1}{U} \sum_{ijkss'} t_{ij} t_{jk} c_{is}^\dagger c_{js} n_{j\uparrow} n_{j\downarrow} c_{js'}^\dagger c_{ks'} \right] P_s$$

这就是 t-J 模型.

格点数目很多所带来的问题的解决: 改变能量零点

- 格点数目很多的极限下 $\mathcal{N} \rightarrow \infty$, 电子数目随之增多, 基态能量 E_0 是广延的(extensive), 它是这些电子零点能量的加和, 因此也会随着 \mathcal{N} 增大不断同步增大.
- 因此, 此时将 E 认为是小量, E/U 认为是小量, 进而将 $\mathcal{H}^{eff}(E)$ 在 $E = 0$ 附近展开是不成立的.
- 我们需要改变能量的零点

$$E^0 \rightarrow E'_0 = E_0^d - U$$

其中 E_0^d 也是广延量, 它是 Hubbard 模型在双占据子空间 D 中的最低能量.

- 如果我们放弃对 Hubbard 模型基态能量的了解, 我们就不需要真正地去计算 E_0^d .
 - 因此我们仅仅将 \mathcal{H}^{t-J} 应用在低层元激发和波函数的描述上.
 - 这个能量零点的 shift 实际上正是 Brillouin-Wigner and Rayleigh-Schrodinger perturbation theories 的区别之处, 参考文献可以看 Problem 3.6 in J.W. Negele and H.Orland, Quantum Many Particle Systems (Addison-Wesley, 1988).
 - 定义了新的能量零点 E'_0 之后, 我们永远会有 $|E - E'_0| \ll U$, 因此可以在热力学极限下以 E'_0 为中心做展开, 得到和 E 无关的有效哈密顿量, 即 t-J 模型.
7. • 在一维体系中, 位于 $-k_F$ 处的费米面平移 $2k_F$ 之后就会和 $+k_F$ 的费米面完全重合, 这种现象被称为费米面嵌套(Fermi surface nesting), 这个平移矢量被称为嵌套矢量(nesting vector).